

東大生研 正員 中村 豊
東大生研 正員 田村重郎

1. はじめに

著者らは、先に地中坑道内を引車が走行する時に生ずる振動を実測して、走行中に発生した衝撃力がその振動の主体的な原因であることを明らかにし、このようないくつか問題に対する数値解析法を提案した。¹⁾

ここでは、重錠落下実験を得た加

速度波形を数値解析によりシミュ

レートした結果を図示する。

2. 落錠実験の概要

図1は落錠実験を行ったトンネルの断面とその周辺の地質図及び地表測点の位置を示す。

重錠の形状は、四角すい台で上面および下面の一辺の長はそれぞれ60 cm, 30 cm², 高さは90 cmである。この外殻は鋼板で中にコンクリートを充填しており、その重量は500 kgである。

この重錠を、スチールパイプ組み立て三脚の頂点にとりつけたチェーンブロックで針金で結びつけ、所定の高さまで吊り上げた後、針金を切断して自由落下させた。

重錠の落下高は10 cm, 20 cm, 30 cm, 50 cm の4種とした。

図2は、重錠の加速度波形の例を示したもので、落下高H=20 cm のときのものである。このように落下衝撃によつて、正弦半波に似た岸-1°ルスが発生する。この重錠加速度の最大値を α_{max} , $\alpha_{max}/2$ を超える加速度となる時間と継続時間Tとするとき、岸-1°ルスに含まれる各周波数成分の大きさは $\alpha_{max} \cdot T$ に比例する。本実験では $\alpha_{max} \cdot T$ は落下速度 $U_0 (\approx \sqrt{2gH})$ にほぼ比例していた。

図3は測線NN'上の測点の上下方向加速度の一例である。(重錠落下高 H=30 cm) これによると、地表測点の加速度波形は入力波形とは異なり、振動的な波形となつてあり、その初期部分の卓越振動数は100 Hz前後である。

3. 加速度波形のシミュレーション

解析モデルは、トンネル断面方向の振動性状を解析することを目的に2次元的に作成されてゐる。これに対し、落錠実験は、点加振を行つてゐるため、两者と比較するためには若干の

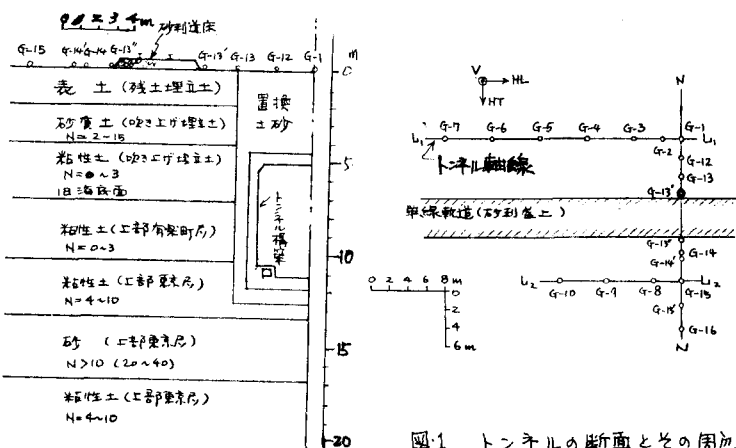


図1 トンネルの断面とその周辺の地質図及び地表測点

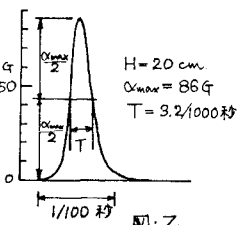


図2

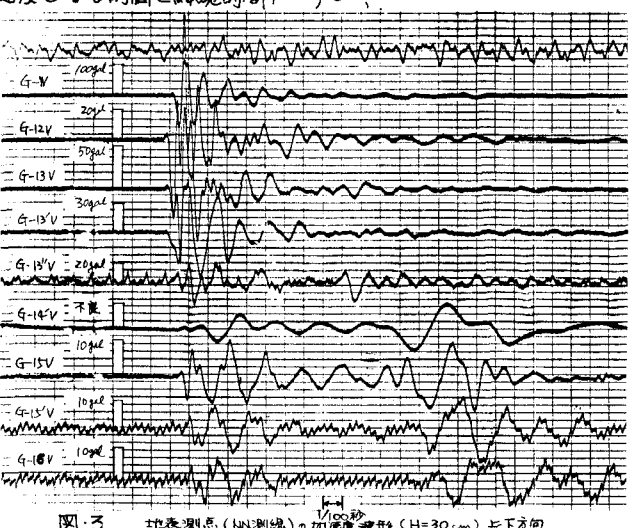


図3 地表測点 (NN'測線) の加速度波形 (H=30 cm) と下方向

変換を必要とする。このため、実験におけるトンネル軸に沿う方向の測線を設け、この測線ごとに得られた地盤加速度波形をエニルギー的に合成して、道床上をトンネル軸に沿って線状加振したときの地表の応答加速度波形を算出していい。

図-4は要素分割図であり、これに与えた物性値は、地質及び土質のデータとともに、実験時に得た波動伝播速度の簡単な測定の結果や近くのPS換層結果を参考にして、表-1のように決定した。

入力波形として落下高H=30cmと重錘加速度波形を最大加速度1t/s/mに標準化したものを持参し、これを節点Aに下向きに作用させると①の①点の応答を求め、実測波形と比較したもののが図-5である。図中太実線と太破線は、それそれぞれ合成した実測波形及び第1ピークの大きさをこれと一致させたG-1/Vの実測波形であり、細実線、細破線はそれぞれ減衰率を5%及び10%とした計算波形である。これらの波形は、初めの2~3波についてはほぼ同様の傾向を有し、実測による波形の最大値と、 $h=10\%$ として計算した波形の最大値はほぼ一致している。

加振直上測点のG-1/Vの波形と合成した実測波形はほぼ相似である。他の測点においてもこのような関係にあるとして、その大きさを、円筒波と球面波の波動の拡がり方の相違から、点加振の場合と線状加振の場合の応答値の相違を推算し、②、③点の加速度計算波形を点加振の場合の結果に変換して対応する実測波形と比較したものが図-6である。計算は $h=10\%$ として行っていい。これによると、初めの2~3波については波形の形状、大きさとも計算結果と実測結果はよく一致している。これから、本実験地点の減衰率は10%程度と推定される。

4. 結論

以上のように、実測加速度波形を先に提案しE数値解析法により、的確にシミュレートすることが可能であり、この数値計算法の实用性が確認された。

終りに本研究を担当した、日本国有鉄道東京第一工事局ならびに新橋工事所、帝都高速度交通開発の方々に多くの便宜を与えられた事を記して謝意を表します。

参考文献

- 1)「地下鉄構築及びその周辺地盤の振動解析の一方法」牛村豊・田村重四郎, 第3回年次学術会議 I-246
- 2)「構築に衝撃力を加えた場合に構築及び地盤に生ずる波動について」牛村豊・田村重四郎, 第32回年次学術会議 I-271

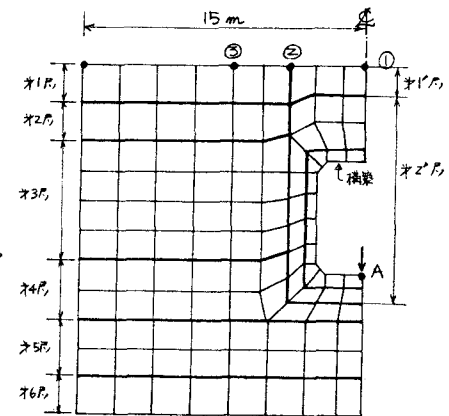


図-4 要素分割図

表-1 モデルの物性値

地号	$E(\text{t/s}^2)$	ν	$\rho(\text{t/m}^3)$	$V_s(\text{m/s})$	$V_d(\%)$
オ1号	1.1327×10^3	0.451	1.7	500	150
オ2号	1.2340×10^3	0.443	1.8	1300	150
オ3号	6.5946×10^2	0.446	1.5	1300	120
オ4号	2.1938×10^3	0.443	1.8	1700	200
オ5号	5.7240×10^3	0.444	2.1	1700	300
オ6号	3.4186×10^3	0.439	1.8	1700	250
オ10号	1.3910×10^3	0.4792	1.8	800	160
オ2'号	1.4096×10^3	0.4922	1.8	1300	160
構築	3.5000×10^3	0.25	2.4	—	—

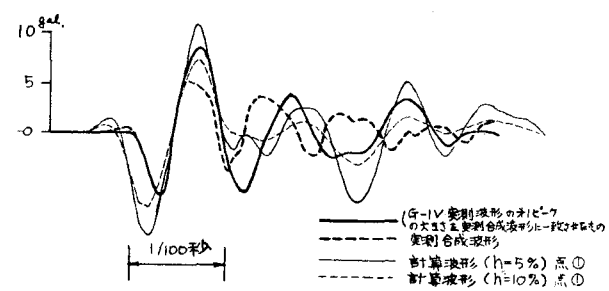


図-5 実測波形と計算波形の比較

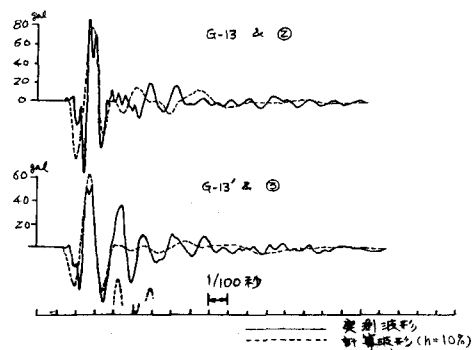


図-6 実測波形と計算波形の比較